

фотопереходов с участием локализованных состояний затруднена, поскольку не ясно, с какой из разрешенных зон  $\text{Si}_3\text{N}_4$  носители взаимодействуют в конкретном интервале энергий квантов света.

## Литература

- [1] Нитрид кремния в электронике / Под ред. А. В. Ржанова. Новосибирск: Наука, 1982. 200 с.
- [2] Брытвов И. А., Гриценко В. А., Понаценко Ю. Н. Препринт Института физики полупроводников СО АН СССР. № 6-84. Новосибирск, 1984. 42 с.
- [3] Каюог V. I., Bibyk S. B. // Phys. MOS Insul. Proc. Int. Top. Conf. New York, 1980. P. 117—121.
- [4] Pundur P. A., Shavalgin T. G., Gritsenko V. A. // Phys. St. Sol. (a), 1986. Vol. 94. N 2. P. K107—K112.
- [5] Nicollian E. H., Brews J. R. MOS (Metal—Oxide—Semiconductor) Physics and Technology. New York, 1982. 900 p.

Петрозаводский государственный  
университет им. О. В. Куюсина

Поступило в Редакцию  
2 февраля 1988 г.

05; 01

Журнал технической физики, т. 59, в. 4, 1989.

## МАГНИТОСТАТИЧЕСКИЕ ВОЛНЫ В ФЕРРИТОВОМ СЛОЕ С ДОМЕННОЙ СТРУКТУРОЙ С УЧЕТОМ НЕОДНОРОДНОСТИ СТАТИЧЕСКОГО ПОЛЯ РАЗМАГНИЧИВАНИЯ

П. И. Бойко, Я. Д. Головко, И. В. Зависляк, Т. В. Нужный

Известны работы [1—4], в которых исследованы магнитные резонансы и магнитостатические волны (МСВ) в слое одноосного феррита с плоскокорректильной доменной структурой (ППДС) в предположении, что внутреннее статическое магнитное поле однородно.

Однако в реальной ситуации имеет место неоднородность статического поля размагничивания  $H_p$ , связанного с наличием ППДС. Целью настоящей работы является исследование влияния такой неоднородности на характеристики распространения МСВ.

Рассмотрим слой одноосного феррита толщиной  $S$ , в котором существует ППДС, состоящая из чередующихся доменов двух типов: у одних («положительных») постоянная намагниченность направлена вдоль внешнего подмагничивающего поля, у других («отрицательных») — против поля. Координатная ось  $OZ$  направлена нормально к поверхности слоя, ось  $OX$  — вдоль доменных границ,  $OY$  — вдоль нормали к ним. Внешнее поле  $H_0$  и ось легкого намагничивания феррита направлены вдоль  $OZ$ . Центр координат находится посередине между поверхностями слоя.

Используя уравнение Ландау—Лифшица, можно получить тензор магнитной проницаемости  $\hat{\mu}$ , усредненный по периоду ППДС [4]. Такой тензор позволяет упростить рассмотрение для возбуждений с длиной волны, намного большей периода ППДС.

Распределение в слое поля  $H_p$  можно найти, решив статическую задачу. Для подстановки в усредненный тензор  $\hat{\mu}$  компоненты  $H_p$  следует также усреднить по доменам обоих типов. При этом остается только одна компонента поля размагничивания, не равная нулю,

$$H_{pz}^+ = \frac{16MD}{\pi d_+} \sum_{n=1}^{\infty} \frac{1}{n^2} e^{-n\pi S/2D} \operatorname{ch} \frac{n\pi z}{D} \left( \cos \frac{n\pi d_+}{D} - 1 \right) - H_C \quad (1)$$

— для «положительных» доменов,

$$H_{pz}^- = \frac{16MD}{\pi (2D - d_+)} \sum_{n=1}^{\infty} \frac{1}{n^2} e^{-n\pi S/2D} \operatorname{ch} \frac{n\pi z}{D} \left( 1 - \cos \frac{n\pi d_+}{D} \right) - H_C \quad (2)$$

— для «отрицательных» доменов, где  $H_C = 4\pi M(d^+/D - 1)$ ,  $M$  — намагниченность насыщения феррита,  $2D$  — период ППДС,  $d_+$  — ширина «положительного» домена. Равновесные

значения  $d_+$  и  $D$  для каждого  $H_0$  можно найти из условия минимума полной энергии ферритового слоя [4, 5].

Выражения (1), (2) задают закон неоднородности статического поля размагничивания и, следовательно, тензора  $\hat{\mu}$  по толщине слоя.

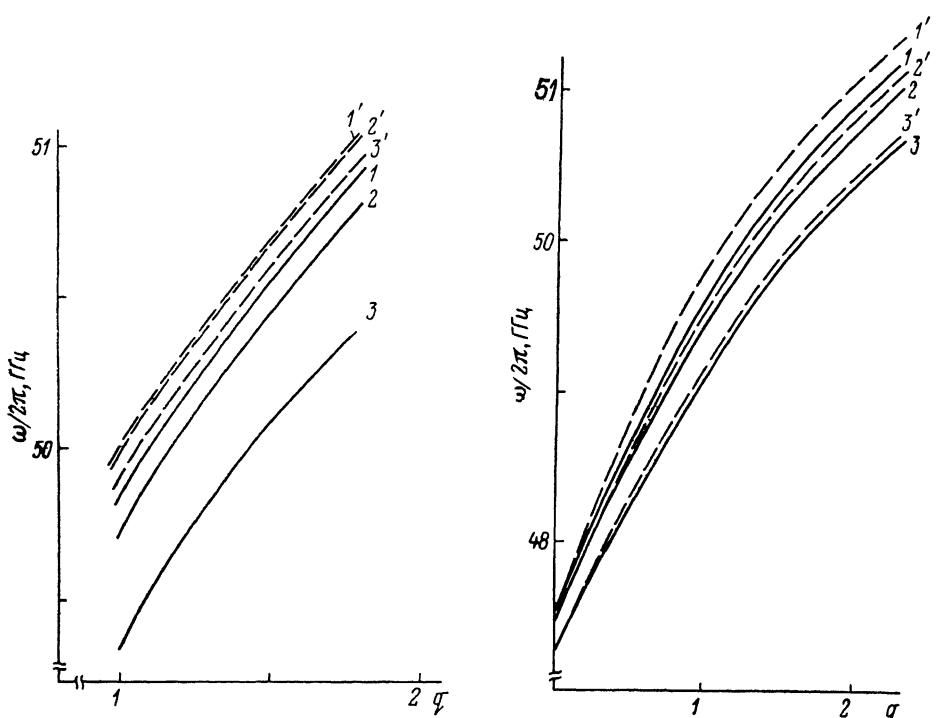


Рис. 1. Дисперсия МСВ в слое бариевого феррита с ППДС с учетом и без учета неоднородности  $H_p$ .

$S$ , мкм: 1, 1' — 10; 2, 2' — 5; 3, 3' — 1.  $H_0=0$ .  $\theta=0$ .

Рис. 2. Дисперсия МСВ в слое бариевого феррита с ППДС с учетом и без учета неоднородности  $H_p$ .

$H_0$ , кЭ: 1 1' — 2; 2, 2' — 3; 3, 3' — 4.  $\theta=0$ ,  $S=10$  мкм.

Используя уравнение Уокера и электродинамические граничные условия, можно сформулировать задачу для магнитостатического потенциала  $\psi$  внутри слоя

$$\frac{d^2\psi}{du^2} + q^2 \sigma^2(u) \psi = 0, \quad (3)$$

$$\left( \frac{d\psi}{du} + q\psi \right) \Big|_{u=1/2} = 0, \quad (4)$$

$$\left( \frac{d\psi}{du} - q\psi \right) \Big|_{u=-1/2} = 0, \quad (5)$$

где  $u=z/S$ ,  $q=S\sqrt{k_x^2+k_y^2}$  — нормированные координата и волновое число,  $k_x$  и  $k_y$  — компоненты волнового вектора  $\mathbf{k}$ ,  $\sigma^2(u)=-(\mu_{11}(u)\sin^2\theta+\mu_{22}\cos^2\theta)$ ,  $\theta$  — угол между  $\mathbf{k}$  и осью  $OY$ ,  $\mu_{11}(u)$  и  $\mu_{22}(u)$  — диагональные компоненты  $\hat{\mu}$ .

Эту граничную задачу можно решить для предельных случаев  $q \gg 1$  и  $q \ll 1$ , используя асимптотические методы [6]. Для более точного и полного анализа дисперсии МСВ задачу необходимо решать численно.

Для основной моды МСВ удобно ввести замену

$$V = \frac{\psi'}{\psi q}. \quad (6)$$

Задача (3)–(5) будет иметь вид

$$V' = -q (V^2 + \sigma^2(u)), \quad (7)$$

$$V|_{u=-1/2} = 1, \quad (8)$$

$$V|_{u=1/2} = -1. \quad (9)$$

Для дифференциального уравнения первого порядка (7) с начальным условием (8) можно применить метод Рунге–Кутта. При этом зафиксированы все величины, входящие в (7), за исключением одной — параметра пристрелки, в качестве которого удобнее всего выбрать  $q$ . Границное условие (9) можно рассматривать как уравнение относительно  $q$

$$V(q)|_{u=-1/2} + 1 = 0 \quad (10)$$

и решать его любым численным методом. В данной работе использовался градиентный метод [7]. В результате, решая (10) для разных частот  $\omega$ , получаем дисперсионную зависимость  $\omega(q)$ .

Следует отметить, что функция  $\sigma^2(u)$  на отрезке  $u \in [-(1/2); 1/2]$  может иметь особенности: точку поворота  $u=a$ , в которой  $\sigma^2=0$ , и сингулярную точку  $u=b$ , где  $\lim_{u \rightarrow b} \sigma^2 = \infty$ .

В этих точках  $\sigma^2$  изменяет знак, т. е.  $V$ , а следовательно, и потенциал  $\psi$  не описываются чисто тригонометрическими функциями, как это имеет место в однородном случае. Зависимость  $\psi(u)$  носит более сложный характер.

Чтобы использовать метод Рунге–Кутта, необходимо устраниć разрыв в сингулярной точке. Поэтому в общем случае задачу нужно решать с учетом затухания, т. е., например, заменить  $H_0$  на комплексную величину  $H_0+i\Delta H/2$  (где  $\Delta H$  — полуширина резонансной кривой). Это приведет к комплекскости  $q$ .

На рис. 1 представлены дисперсионные зависимости для  $H_0=0$  и разных значений толщины  $S$  (расчетные параметры бариявого феррита). Для сравнения штриховыми линиями показаны параметры, рассчитанные для однородного  $H_p=H_p|_{u=0}$ . На рис. 2 приведены зависимости  $\omega(q)$  для  $S=10$  мкм и разных значений  $H_0$ .

Таким образом, анализ показывает, что в слое бариявого феррита с ППДС неоднородность статического поля размагничивания существенно влияет на дисперсию МСВ при  $S < 10$  мкм. Это влияние уменьшается при больших подмагничивающих полях (например, в слое с  $S=10$  мкм, начиная с  $H_0 \sim 3$  кд).

### Литература

- [1] Михайловская Л. В., Богомаз И. В. // ФТТ. 1977. Т. 19. Вып. 8. С. 1245–1248.
- [2] Зависляк И. В., Данилов В. В. // Письма в ЖТФ. 1982. Т. 8. Вып. 2. С. 72–76.
- [3] Hasty T. E // J. Appl. Phys. 1964. Vol. 35. N 5. P. 1434–1441.
- [4] Sigal M. A. // Phys. Stat. Sol. a. 1979. Vol. 51. N 1. P. 151–161.
- [5] Богданов А. Н., Яблонский Д. А. // ФТТ. 1980. Т. 22. Вып. 3. С. 680–687.
- [6] Головко Я. Д., Зависляк И. В. // Тез. докл. конф. «Спин-волновые явления электроники СВЧ». Краснодар, 1987. С. 55–56.
- [7] Краскевич В. Е., Зеленский К. Х., Гречко В. И. Численные методы в инженерных исследованиях. Киев, 1986. 264 с.

Киевский государственный  
университет им. Т. Г. Шевченко

Поступило в Редакцию

11 января 1988 г.

В окончательной редакции  
20 августа 1988 г.